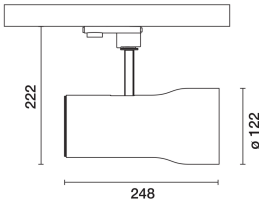


Letzte Aktualisierung der Informationen: Mai 2025

Produktkonfiguration: 632A

632A: Strahler SIPARIO Ø122 - DALI - Flood - OBReflector -



Produktcode

632A: Strahler SIPARIO Ø122 - DALI - Flood - OBReflector -

Beschreibung

Ausrichtbarer Strahler ø122 mit Adapter zum Einbau an einer Anschlussdose oder Stromschiene mit Netzspannung. Led-Lichtquelle mit Technologie C.O.B (Chip on board) mit hoher Farbwiedergabe -CRI90- Farbton 3000K.

Korpus aus Aluminiumdruckguss mit hinterem Verschluss und Stirnring aus Thermoplast (Mass-Balance). Das Produkt ermöglicht eine Drehung von 360° um die vertikale Achse mit mechanischer Arretierung und eine Neigung von 90° auf der horizontalen Ebene. Passive Wärmeableitung.

System OptiBeam Reflector mit Flood-Optik. Kratzfester Reflektor aus PVD (Physical Vapour Deposition)-Aluminium, das eine herausragende Lichtausbeute garantiert.

Dimmbare elektronische, in das Leuchtengehäuse integrierte DALI-2-Versorgungseinheit.

Strahler mit Push&Go-System, für die schnelle und sichere Kopplung von Leuchte und optischem Zubehör. Die mechanische Abtrennung ermöglicht die sichere Auskopplung des Zubehörs ohne Fallgefahr. Die Verwendung von bis zu drei internen und einem externen Zubehör ist möglich. Sämtliche internen und externen Zubehörteile können um 360° im Verhältnis zur Längsachse des Strahlers gedreht werden.

Installation

Anschlussdose oder Stromschiene mit Netzspannung.

Farben

Weiß (01) | Matter schwarz (V0)

Gewicht (Kg)

1.45

Montage

Dreiphasenstromschienensystem

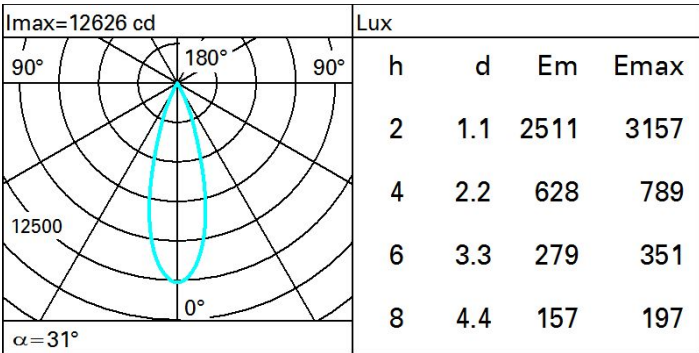
Gemäß der Normen EN60598-1 u. Sondernormen



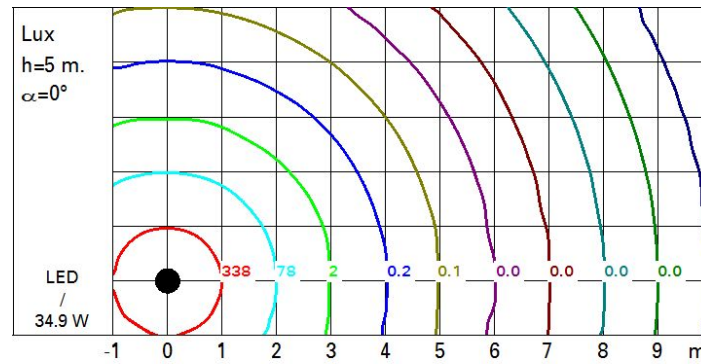
Technische Daten

| | | | |
|---|------|-----------------------------------|---------------------------------|
| Im System: | 3488 | CRI (minimum): | 90 |
| W System: | 34.9 | Farbtemperatur [K]: | 3000 |
| Im Lichtquelle: | 4360 | MacAdam Step: | 2 |
| W Lichtquelle: | 30 | Lebensdauer LED 1: | > 50,000h - L90 - B10 (Ta 25°C) |
| Lichtausbeute (lm/W, Systemwert): | 99.9 | Lampencode: | LED |
| Im im Notlichtbetrieb: | - | Anzahl Lampen in Leuchtengehäuse: | 1 |
| abgegebener Lichtstrom bei/ über einem Winkel von 90° [lm]: | 0 | ZVEI-Code: | LED |
| Leuchtenbetriebswirkungsgrad 80 (L.O.R.) [%]: | | Anzahl Leuchtengehäuse: | 1 |
| Abstrahlwinkel [°]: | 31° | Control: | DALI-2 |

Polardiagramm



Isolux



UGR-Diagramm

| Corrected UGR values (at 4300 lm bare lamp luminous flux) | | | | | | | | | | | |
|---|-----|------------------|-------------|------|------|------|----------------|------|------|------|------|
| Reflect.: | | viewed crosswise | | | | | viewed endwise | | | | |
| ceiling/cav | | 0.70 | 0.70 | 0.50 | 0.50 | 0.30 | 0.70 | 0.70 | 0.50 | 0.50 | 0.30 |
| walls | | 0.50 | 0.30 | 0.50 | 0.30 | 0.30 | 0.50 | 0.30 | 0.50 | 0.30 | 0.30 |
| work pl. | | 0.20 | 0.20 | 0.20 | 0.20 | 0.20 | 0.20 | 0.20 | 0.20 | 0.20 | 0.20 |
| Room dim | | viewed crosswise | | | | | viewed endwise | | | | |
| x | y | | | | | | | | | | |
| 2H | 2H | -3.3 | -2.8 | -3.0 | -2.6 | -2.3 | -3.3 | -2.8 | -3.0 | -2.6 | -2.3 |
| | 3H | -3.4 | -3.0 | -3.1 | -2.7 | -2.4 | -3.4 | -2.9 | -3.1 | -2.7 | -2.4 |
| | 4H | -3.5 | -3.1 | -3.2 | -2.8 | -2.5 | -3.5 | -3.0 | -3.1 | -2.7 | -2.4 |
| | 6H | -3.6 | -3.2 | -3.2 | -2.9 | -2.5 | -3.5 | -3.1 | -3.2 | -2.8 | -2.5 |
| | 8H | -3.6 | -3.2 | -3.2 | -2.9 | -2.6 | -3.6 | -3.2 | -3.2 | -2.9 | -2.5 |
| | 12H | -3.6 | -3.3 | -3.3 | -2.9 | -2.6 | -3.6 | -3.2 | -3.2 | -2.9 | -2.6 |
| 4H | 2H | -3.5 | -3.0 | -3.1 | -2.7 | -2.4 | -3.5 | -3.1 | -3.2 | -2.8 | -2.5 |
| | 3H | -3.6 | -3.2 | -3.2 | -2.9 | -2.5 | -3.6 | -3.2 | -3.2 | -2.9 | -2.5 |
| | 4H | -3.7 | -3.4 | -3.3 | -3.0 | -2.6 | -3.7 | -3.4 | -3.3 | -3.0 | -2.6 |
| | 6H | -3.8 | -3.5 | -3.3 | -3.1 | -2.7 | -3.8 | -3.5 | -3.3 | -3.1 | -2.7 |
| | 8H | -3.8 | -3.6 | -3.4 | -3.1 | -2.7 | -3.8 | -3.6 | -3.4 | -3.1 | -2.7 |
| | 12H | -3.9 | -3.6 | -3.4 | -3.2 | -2.7 | -3.9 | -3.6 | -3.4 | -3.2 | -2.7 |
| 8H | 4H | -3.8 | -3.6 | -3.4 | -3.1 | -2.7 | -3.8 | -3.6 | -3.4 | -3.1 | -2.7 |
| | 6H | -3.9 | -3.7 | -3.4 | -3.2 | -2.8 | -3.9 | -3.7 | -3.4 | -3.2 | -2.8 |
| | 8H | -4.0 | -3.8 | -3.5 | -3.3 | -2.8 | -4.0 | -3.8 | -3.5 | -3.3 | -2.8 |
| | 12H | -4.0 | -3.9 | -3.5 | -3.4 | -2.9 | -4.0 | -3.9 | -3.5 | -3.4 | -2.9 |
| 12H | 4H | -3.9 | -3.6 | -3.4 | -3.2 | -2.7 | -3.9 | -3.6 | -3.4 | -3.2 | -2.7 |
| | 6H | -4.0 | -3.8 | -3.5 | -3.3 | -2.8 | -4.0 | -3.8 | -3.5 | -3.3 | -2.8 |
| | 8H | -4.0 | -3.9 | -3.5 | -3.4 | -2.9 | -4.0 | -3.9 | -3.5 | -3.4 | -2.9 |
| Variations with the observer position at spacing: | | | | | | | | | | | |
| S = | | 1.0H | 5.2 / -0.5 | | | | 5.2 / -0.5 | | | | |
| | | 1.5H | 7.9 / -9.8 | | | | 7.9 / -9.8 | | | | |
| | | 2.0H | 9.9 / -14.8 | | | | 9.9 / -14.8 | | | | |